••



基于 X 射线衍射的残余应力测量多参数 协同作用机制研究

谢瑞士,李园利*,马拥军

(西南科技大学 分析测试中心 核环境安全技术创新中心, 绵阳 621010)

摘要: X 射线衍射应力测量法因其非破坏性、高精度和广泛适用性而备受关注。然而,其测量参数的优化匹配机制长期以来缺乏系统性研究。本研究通过构建多参数耦合分析策略,首次系统揭示了扫描峰位、扫描步长及 $\sin^2 \psi$ 测量点数量等关键参数对残余应力测试精度的协同作用机制。实验研究表明,扫描峰位选择存在显著的角度效应,当采用 137.282° 的高角度衍射峰时,其应力计算误差较常规角度降低约 87.64%,这源于高角度区 20 对晶面间距变化更高的灵敏度。扫描步长的优化呈现双因素制约特征, 0.03° 的步长虽可获得最优的峰形拟合度($R^2 > 0.92784$),但需权衡测试效率与噪声干扰的平衡关系。创新性地建立了 $\sin^2 \psi$ 法最小数据点判据策略,当 $\sin^2 \psi$ 测量点达到 7 个时,应力误差可稳定控制在 \pm 5.7 MPa 以内,这为快速检测提供了理论依据。本研究突破传统单参数优化模式,提出多参数协同优化策略,为 X 射线衍射残余应力测量领域提供了重要的理论支撑和技术范式。

关 键 词:残余应力; X 射线衍射; 测试; 实验技术

中图分类号: TG115.22; O766 文献标志码: A DOI: 10.12179/1672-4550.20240598

Multiparameter Synergistic Mechanisms of Residual Stress Measurement Based on X-ray Diffraction

XIE Ruishi, LI Yuanli*, MA Yongjun

(Analytical and Testing Center, Innovation Center of Nuclear Environmental Safety Technology, Southwest University of Science and Technology, Mianyang 621010, China)

Abstract: X-ray diffraction (XRD) stress measurement has attracted much attention because of its non-destructive nature, high accuracy, and wide applicability. However, the optimization and matching mechanism of its measurement parameters has been lacking for a long time. By constructing a multi-parameter coupling analysis strategy, this study systematically reveals the synergistic mechanism of key parameters such as scanning peak, scanning step, and $\sin^2 \psi$ measuring points on residual stress measurement accuracy for the first time. The experimental results indicate that there is a significant angle effect in the selection of the scanning peak position. When the high-angle diffraction peak of 137.282° is used, the stress calculation error is reduced by 87.64% compared with the conventional angle, which is due to the higher sensitivity of the high-angle 2θ region to the change of crystal plane spacing. The optimization of scanning step size is characterized by two-factor constraints. Although the optimal peak shape fitting degree ($R^2 > 0.927.84$) can be obtained with the step size of 0.03° , the balance between test efficiency and noise interference needs to be weighed. The minimum data point criterion strategy of $\sin^2 \psi$ method is innovatively established. When the $\sin^2 \psi$ measurement points reach 7, the stress error can be stably controlled within ± 5.7 MPa, which provides a theoretical basis for rapid detection. This study breaks through the traditional single-parameter optimization model and proposes a multi-parameter cooperative optimization strategy, which provides important theoretical support and technical paradigm for the X-ray diffraction residual stress measurement.

Key words: residual stress; X-ray diffraction; measurement; experimental technology

残余应力对材料的力学性能、物理性能和化学性能均有显著影响^[1-2]。通过测量和调控残余应力,可以优化材料的屈服强度、抗拉强度、疲劳

寿命等关键性能指标,提升产品的综合性能^[3-5]。 在航空航天、核能、轨道交通等领域,残余应力 的存在可能威胁到工程的安全性^[6-8]。测量残余应

收稿日期: 2024-11-15

基金项目:西南科技大学实验技术研究项目(21syjs-05)。

作者简介:谢瑞士,博士,副研究员,主要从事分析测试技术研究。E-mail: rxie@swust.edu.cn

*通信作者:李园利,博士,副教授,主要从事同步辐射谱学技术研究。E-mail:yli@swust.edu.cn

力可以确保工程结构的可靠性和安全性,防止因材料失效引发的安全事故。

在众多残余应力测量方法中,X射线衍射法 因其非破坏性、高精度和广泛适用性而备受关 注^[9]。研究人员对不同样品进行残余应力测量和分 析,取得了可观的研究成果。这些研究不仅加深 了我们对残余应力产生机理和影响因素的认识,还 为优化工艺条件、改进产品设计提供了科学依据。

目前基于 X 射线衍射法的应力测量仪检测残余应力存在一些问题,包括侧重使用单晶样品、使用的靶材导致 X 射线入射深度低、受限于应力张量计算、需要背底处理等^[10-12]。近年来,已有文献报道了一些测量条件(例如,管电压、管电流、准直管直径)对残余应力结果的影响^[13]。然而,通常在工厂或实验室检测残余应力时,研究人员不会频繁地去调整仪器电学参数和仪器附件配置。此外, X 射线衍射法在测量样品残余应力时仍面临一些挑战,如测量参数的选择与优化等^[14-15]。

本文采用 X 射线衍射仪测量样品的残余应力,探讨测量参数对 X 射线衍射法残余应力测试结果的影响,通过系统分析关键参数设置下的图谱特征,揭示其背后的物理机制,并提出优化测量参数的策略。具体而言,我们将重点关注扫描峰位、扫描步长以及 sin²ψ测量点个数对残余应力结果的影响。期望为研究人员在 X 射线衍射残余应力测量实际操作中提供有价值的参考和指导。

1 实验过程

1.1 仪器和样品

采用帕纳科 Empyrean X 射线衍射仪,该仪器配备有 Cu 靶辐射源及先进的半导体阵列探测器,在电压设定为 40 kV 与电流 40 mA 的条件下工作。采用的样品为金属铝片体。铝片试样采购自上海思百吉仪器系统有限公司,原始材料为轧制退火态板材(厚度 10 mm)。

1.2 样品处理

为了测量机械加工、表面处理等工艺之后的 样品表面应力,须小心保护待测试样的原始表 面,不能进行任何加工、电化学或化学腐蚀等影 响表面应力的操作,用无水乙醇或丙酮轻轻擦拭 样品表面即可。

1.3 获得实验数据

测量过程如下:首先,测量广角 X 射线衍射(XRD)图谱时,扫描范围 10-150°,扫描步长 0.01-0.1°,时间常数 50 s。然后,选择样品的 XRD 图谱高角度的衍射峰,执行残余应力测量。测试应力图谱时,步长为 0.03°,每步停留时间为 50 s。为减小测试误差,在应力测试过程中尽可能选择高角度衍射,而实现高角衍射的途径则是选择合适的衍射晶面,后文根据 XRD 测试结果做出选择。ψ角间隔划分应尽量确保各个 sin²ψ值为等间隔,利用衍射仪执行残余应力图谱测量。

计算过程如下:

(1)弹性常数(K)的计算方法

弹性常数(K)与材料的弹性模量(E)及泊松比(V)直接相关,计算公式为:

$$K = -\frac{E}{2(1+v)}$$

代入金属铝材料的杨氏模量和泊松比(E = 70.600 GPa, v = 0.345)^[16],得到 $K \approx -25.93 \text{ GPa}$ 。

- (2)残余应力(σ)的计算方法
- (a)晶面间距计算

利用布拉格方程^[17] $2d\sin\theta = n\lambda$,已知衍射峰位 2θ ,计算对应的晶面间距 d。

当 n=1(-级衍射)时, $2d\sin\theta=\lambda$,其中 λ 为 X 射线波长(如 Cu 靶 $K\alpha$ 波长为 0.15418 nm)

(b)绘制 $\sin^2 \psi - d$ 图与拟合斜率 M

在不同倾斜角 ψ (如 0°、12.24°、17.45°、21.55°、25.10°、28.31°、31.30°)下测量同一晶面的 d 值。以 $\sin^2 \psi$ 为横坐标,d 为纵坐标,通过线性拟合得到斜率 $M^{[18]}$ 。

(c)残余应力计算

根据公式^[19] $\sigma = K \cdot M$,代入 K 和 M 的数值即可得到残余应力。

2 结果与讨论

2.1 样品的 XRD 分析

金属铝样品槽的 XRD 图谱如图 1 所示, 大约 38.39°、44.66°、65.01°、78.15°和 82.36°处的衍射峰, 分别归属于立方相铝的(111)、(200)、(220)和(311)晶面, 与粉末衍射标准卡片 PDF#85-1327相契合。此外, 利用晶体学相关公式, 计算了 98.97°、111.90°、116.48°和 137.28°处的衍射峰对应的晶面指数, 分别为(400)、(331)、(420)和

图 2 展示了金属铝样品典型的 2θ 与 ψ 关系等

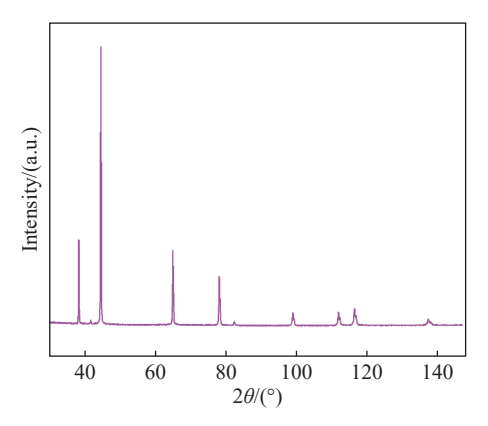
高线图。等高线图通常以方位角 φ 和 $\sin^2 \psi$ 为坐标 轴,显示不同方向(φ)和倾斜角(ψ)下测得的衍射

 $\mathbf{h} 2\theta$ 分布。若等值线呈现规律对称或线性排列, 表明残余应力在平面内分布均匀且符合平面应力 假设; 若出现椭圆或非对称分布, 则暗示应力存 在各向异性或剪切分量。对比不同工艺处理后样

品的等高线图,可评估残余应力分布的变化,为 优化热处理、加工参数提供依据。图中色彩柱 状图代表衍射峰强度,颜色从黑色、蓝色、绿 色、黄色到红色变化,表明强度依次增加。此外, 图 2a-2d 中的衍射峰值最高点分别为 98.975°、 111.905°、116.480°、137.282°;每个小图中都有

7条等高线,表明每个晶面都测试了7个 ₩ 角度

(422)。在 X 射线衍射应力测量时, 一般选取高角 度的衍射峰。因此,在后面等残余应力实验中, 选择(400)、(331)、(420)和(422)晶面的衍射峰 作为测试峰。



金属铝样品的 XRD 图谱

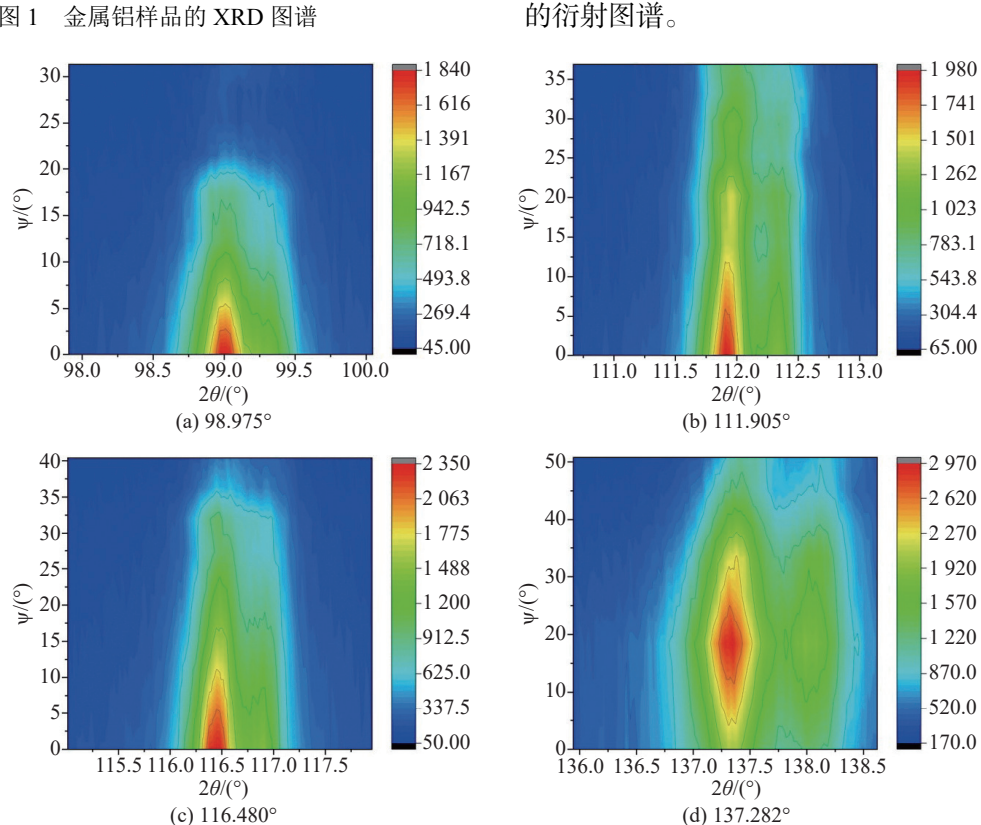


图 2 典型的 2θ与 ψ 关系等高线图

2.2 扫描峰位对残余应力测量值的影响

图 3 显示了不同扫描峰位时 $\sin^2 \psi$ 与 d 的关 系图,其中图 3a-e 的扫描峰位分别为 98.975°、 111.905°、116.480°、137.282°。采用线性拟合方 法分别拟合了图 3a-e 中的数据点, 曲线拟合度分 别为 0.389 56、0.837 40、0.790 66、0.927 84。结果 表明,扫描峰位为98.975°时,曲线拟合度达到最 小值;扫描峰位为137.282°时,曲线拟合度达到

最大值。

图 4 展示了扫描峰位对残余应力的影响趋势 图。不同扫描峰位时, 金属铝样品的残余应力 计算值分别为-100.4 ± 46.1、-64.5 ± 11.4、-64.5 ± 13.2、-50.8 ± 5.7 MPa。可以发现,选择低角度的 衍射峰时,残余应力计算值和误差都较大;选择 高角度的衍射峰时,残余应力计算值和误差都 较小。

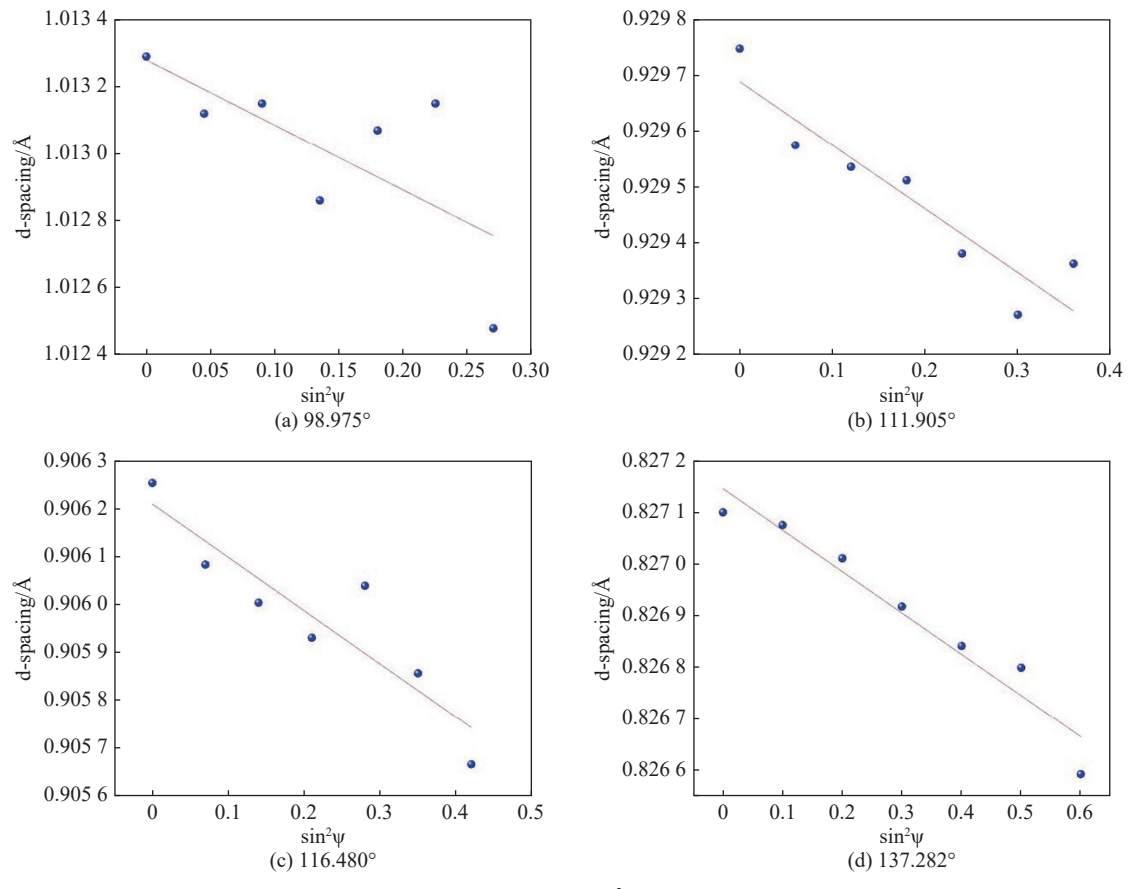


图 3 不同扫描峰位时 $\sin^2 \psi$ 与 d 的关系图

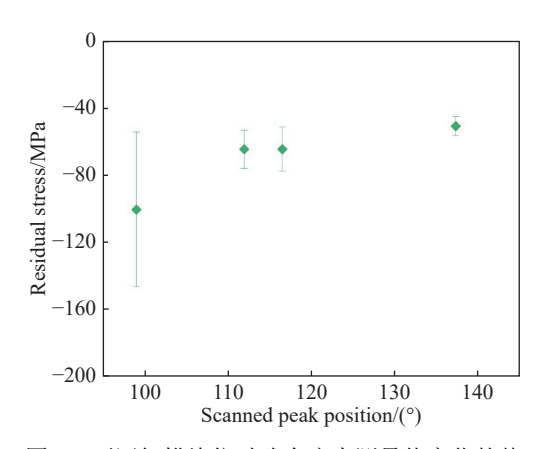


图 4 不同扫描峰位时残余应力测量值变化趋势

在 X 射线衍射(XRD)技术应用于应力测量实验中,选择衍射峰的角度确实是一个关键的步骤。通常,在进行 X 射线衍射应力测量时,会倾向于选择高角度的衍射峰,主要原因为:一方面,高角度的衍射峰对应着较大的晶面间距,这使得它们对应力变化更为敏感。当材料受到应力作用时,其晶格间距会发生微小的变化,这种变化在高角度衍射峰中更容易被检测出来。另一方面,在低角度区域,多重衍射(即一个 X 射线光子在多个晶面之间发生多次反射)的可能性更高。多

重衍射会导致衍射图谱复杂化,增加分析的难度。选择高角度衍射峰可以减少多重衍射的影响,其内在机制为: (1)根据布拉格定律 2dsinθ = nλ,当衍射角θ趋近90°时,sinθ接近1,仅特定晶面间距 d 可满足方程。此时,其他晶面因难以同时满足多重布拉格条件而被过滤,显著降低多重衍射概率。(2)高角度衍射形成的圆锥半顶角较小(半径收缩),与其他晶面的衍射圆锥空间重叠概率降低,减少了不同晶面信号叠加的干扰,提升主峰信号纯度。(3)高角度下,晶格应变引起的峰位移更显著(应变灵敏度正比于cotθ),利于精确测量;同时,主峰强度高(结构因子较强),而多重衍射信号因晶面取向随机化被弱化,信噪比显著提升。

2.3 扫描步长对残余应力测量值的影响

图 5 显示了不同扫描步长时 $\sin^2 \psi$ 与 d 的关系图,其中图 5a-e 的扫描步长分别为 0.01° 、 0.03° 、 0.05° 、 0.07° 和 0.1° 。采用线性拟合方法分别拟合了图 5a-e 中的数据点,曲线拟合度分别为 0.88747、0.92784、0.86008、0.89708、0.88628。结果表明,

扫描步长为 0.1°时, 曲线拟合度达到最小值; 扫描步长为 0.03°时, 曲线拟合度达到最大值。

图 6 展示了扫描步长对残余应力的影响趋势

图。不同扫描步长时,金属铝样品的残余应力计算值分别为 -49.6 ± 7.5 、 -50.8 ± 5.7 、 -46.1 ± 7.5 、 -53.2 ± 7.3 、 -47 ± 6.8 MPa。

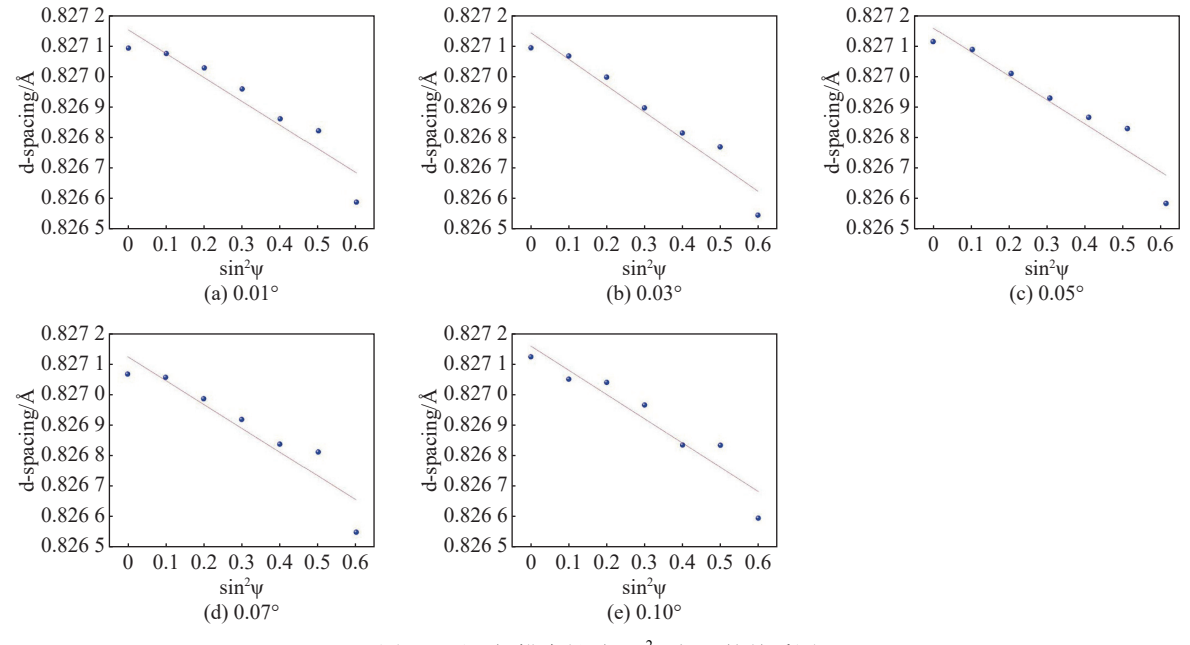


图 5 不同扫描步长时 $\sin^2 \psi$ 与 d 的关系图

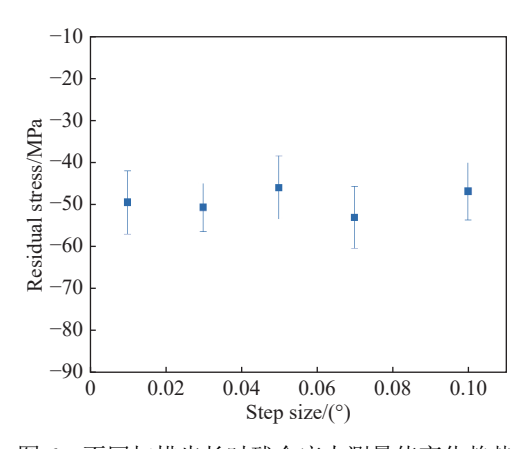


图 6 不同扫描步长时残余应力测量值变化趋势

在测量精度方面,较小的扫描步长可以提高测量的精度。因为步长越小,测量的数据点越密集,能够更准确地捕捉到衍射峰的位置和形状变化,从而更精确地计算出残余应力。较大的扫描步长可能导致数据点稀疏,无法充分反映衍射峰的细节,进而影响残余应力的计算精度。

在结果稳定性方面,适当的扫描步长有助于 获得稳定的衍射图谱,从而得到更可靠的残余应 力测量结果。步长过大或过小都可能导致结果的 不稳定。过小的步长可能会增加测量过程中的噪 声干扰,因为探测器在更短的时间内需要处理更 多的数据点。这可能会降低结果的信噪比,影响 残余应力的准确计算。

在实际应用中,不同材料的晶体结构和衍射特性不同,需要根据具体材料的特性选择合适的扫描步长。X射线衍射仪的性能也会影响扫描步长的选择。高性能的仪器通常具有更高的分辨率和稳定性,可以在较大的步长下获得准确的结果。另外,根据测量目的的不同,可以选择不同的扫描步长。例如,对于需要高精度测量的研究应用,应选择较小的步长;而对于一般的工业检测应用,可以适当放宽步长的要求。

因此,在 X 射线衍射法测量残余应力时,扫描步长的选择对测量结果具有重要影响。为了确保测量的准确性和稳定性,应根据具体材料、仪器性能和测量目的等因素综合考虑,选择合适的扫描步长,常用的步长为 0.01-0.03°。

$2.4 \sin^2 \psi$ 测量点个数对残余应力测量值的影响

图 7显示了不同 $\sin^2 \psi$ 测量点个数时 $\sin^2 \psi$ 与 d 的关系图,其中图 7a-e 的 $\sin^2 \psi$ 数据点个数分别为 3、5、7、9和11个。采用线性拟合方法分别拟合了图 7a-e 中的数据点,曲线拟合度分别为0.90788、0.93160、0.92784、0.90534和0.87417。结果表明, $\sin^2 \psi$ 测量点个数为11时,曲线拟合度

达到最小值; $\sin^2 \psi$ 测量点个数为 5 和 7 时, 曲线 拟合度达到较大值。

图 8 展示了 sin² ψ 测量点个数对残余应力的影

响趋势图。不同 $\sin^2 \psi$ 测量点个数时,金属铝样品的残余应力计算值分别为 -56.7 ± 12.4 、 -58.3 ± 7.8 、 -50.8 ± 5.7 、 -46.9 ± 5.3 、 -52.1 ± 6.2 MPa。

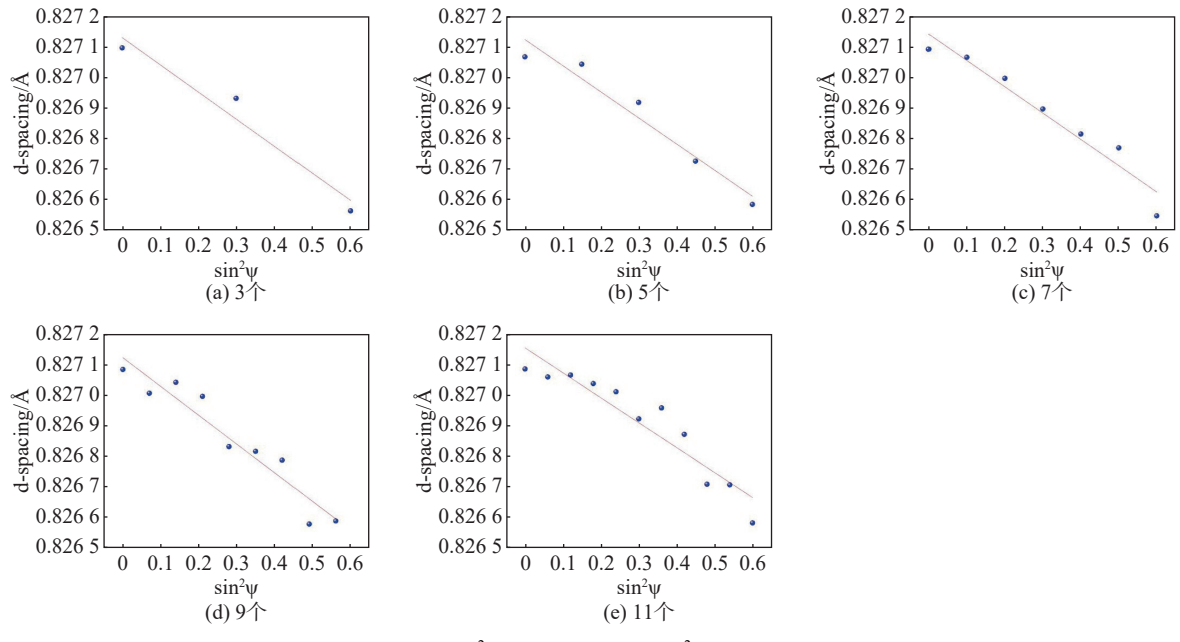


图 7 不同 $\sin^2 \psi$ 测量点个数时 $\sin^2 \psi$ 与 d 的关系图

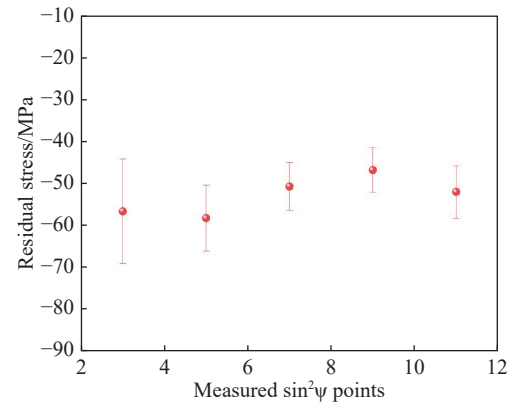


图 8 不同 sin² w 测量点个数时残余应力测量值变化趋势

在残余应力测量中,增加测量点的数量可以 提供更多的数据点,从而更全面地反映被测物体 内部的应力分布情况。这有助于减少由于单个测 量点误差或异常值对整体测量结果的影响,提高 测量的准确性和可靠性。

虽然增加测量点个数可以提高精度,但也会带来额外的测量成本和时间成本。同时,当测量点数量增加到一定程度后,测量精度的提升可能会逐渐趋于饱和,甚至可能出现"过拟合"现象,即额外的测量点对整体结果的影响变得微乎其微。

如果测量点分布过于集中或稀疏,都可能导

致测量结果无法全面反映被测物体的真实应力状态。在数据分析过程中,应注意检查测量数据的合理性和一致性。如果发现异常值或数据分布不符合预期规律,应及时进行复检或修改测量方案。实验结果表明,sin²ψ测量数据点一般达到7个就可以较好反映出样品的残余应力结果,并且具有较小的误差值。

3 结束语

本研究系统揭示了扫描峰位、扫描步长及 $\sin^2 \psi$ 测量点数量对残余应力测试结果的协同作用 机制,提出了多参数协同优化策略,为不同场景下的高精度、高效率测量提供了理论依据与技术 路径。主要发现如下:

1)扫描峰位为 98.975°时,曲线拟合度达最小值;扫描峰位为 137.282°时,曲线拟合度达最大值;选择高角度衍射峰,残余应力误差较小。在进行 X 射线衍射法残余应力测试时,可优先选择高角度衍射峰对应的扫描峰位,以降低残余应力误差,提高测量准确性。

2)扫描步长为 0.1°时, 曲线拟合度达最小值; 扫描步长为 0.03°时, 曲线拟合度达最大值; 高精度研究应用选较小步长, 一般工业检测可放

宽步长要求。根据具体应用场景灵活调整扫描步长:对于对精度要求高的研究,采用较小步长保证测量精度;对于工业检测,适当放宽步长可提高检测效率,降低检测成本。

3) sin²ψ测量点个数为 5 和 7 时,曲线拟合度 达到较大值;测量数据点达 7 个可较好反映样品 残余应力结果,且误差值较小。明确了合适的 sin²ψ测量点个数,避免测量点过少无法准确反映 残余应力情况,或测量点过多导致测量时间和成 本增加,实现高效、准确测量。

参考文献

- [1] HOSSEINI S, FARAJOLLAHI M, EBRAHIMI M. Residual stress, fatigue behavior, and mechanical properties of equal-channel angular pressed commercial pure titanium[J]. Journal of Materials Research and Technology, 2024, 28: 3297–3305.
- [2] ZHOU Y, ZHOU S, WAN S, et al. Tuning the interlayer microstructure and residual stress of buffer-free direct bonding GaN/Si heterostructures[J]. Applied Physics Letters, 2023, 122(8): 082103.
- [3] SHAHA S K, JAHED H, KACHER J. Additively manufactured Ti55511 alloy: Microstructure and residual stress effect on mechanical properties[J]. Journal of Manufacturing Processes, 2023, 94: 348–358.
- [4] MUTHUKUMARAN G, RAI A K, GAUTAM J, et al. A study on effect of multiple laser shock peening on microstructure, residual stress, and mechanical strength of 2.5 Ni-Cr-Mo (EN25) low-alloy steel[J]. Journal of Materials Engineering and Performance, 2023, 32(10): 4361–4375.
- [5] CHEN S X, LIU J Z, CHAN T M. Material properties and residual stresses of welded high strength steel and hybrid I-sections[J]. Engineering Structures, 2023, 276: 115293.
- [6] GE J M, DENG Z H, CAO D H, et al. Study on modelling simulation and distribution characteristics of residual stress during robotic weld end grinding of high strength modulated steel[J]. Journal of Manufacturing Processes, 2023, 108: 98–113.

- [7] KENDALL O, ABRAHAMS R, PARADOWSKA A, et al. Influence of multi-layer laser cladding depositions and rail curvature on residual stress in light rail components[J]. Engineering Failure Analysis, 2023, 150: 107330.
- [8] ZHANG X N, DONG M Y, CAI X, et al. Progress in machining-induced residual stress and microstructural evolution of inhomogeneous materials and composites [J]. Advanced Composites and Hybrid Materials, 2023, 6(3): 122.
- [9] LU W L, SUN J L, SU H, et al. Experimental research and numerical analysis of welding residual stress of butt welded joint of thick steel plate[J]. Case Studies in Construction Materials, 2023, 18: e01991.
- [10] 万鑫, 詹科, 姜传海. X 射线衍射方法分析粗晶铁硅合 金的残余应力[J]. 机械工程材料, 2014, 38(6): 95-99.
- [11] 马昌训, 吴运新, 郭俊康. X 射线衍射法测量铝合金残余应力及误差分析[J]. 热加工工艺, 2010, 39(24): 5-8.
- [12] 高玉魁. 单晶结构残余应力的 X 射线衍射分析技术 [J]. 失效分析与预防, 2010, 5(4): 221-224.
- [13] 李彬, 施芬, 韩振春, 等. 正交法优化 X 射线衍射测量 铝合金残余应力[J]. 热加工工艺, 2013, 42(24): 87-89.
- [14] LAURENCE R C, CANELO-YUBERO D, MAAWAD E, et al. Determination of residual stress in additively manufactured 316L stainless steel benchmark parts through synchrotron X-ray diffraction and neutron diffraction[J]. Strain, 2025, 61(2): e70005.
- [15] OUALI N, CHENITI B, BELKESSA B, et al. Residual stresses determination and analysis in dissimilar rotary friction joints using X-ray diffraction method[J]. Acta Crystallographica Section A: Foundations and Advances, 2024, 80: e465.
- [16] SMITHELLS C J, BRANDES E A. Metals reference book [M]. 5th ed. London: Butterworths, 1976.
- [17] CULLITY B D, STOCK S R. Elements of X-ray diffraction[M]. 3rd ed., Upper Saddle River: Prentice Hall, 2001.
- [18] HAUK V. Structural and residual stress analysis by nondestructive methods: evaluation, application, assessment[M]. Amsterdam: Elsevier, 1997.
- [19] NOYAN I C, COHEN J B. Residual stress: measurement by diffraction and interpretation [M]. New York: Springer-Verlag, 1987.